



# Information mutuelle de canaux radio et opérateurs de Jacobi ergodiques

Walid Hachem  
CNRS / LIGM, Université de Marne-la-Vallée

Travail conjoint avec Adrien Hardy (Université de Lille)  
et Shlomo Shamai (Technion)

Problème

Résultats antérieurs

Résultat principal et applications

Éléments de preuve

# Problème

$$y_n = \sum_{\ell=0}^L c_{n,\ell} s_{n-\ell} + v_n$$

$n$  : temps ou espace,  $s_n$  : signal émis,  $y_n$  : signal reçu,  $v_n$  : AWGN,  
 $C_n = (c_{n,0}, \dots, c_{n,L})$  : canal radio à  $L + 1$  coefficients MIMO  $R \times T$ .

**Hypothèse générale** :  $(C_n)$  processus **stationnaire ergodique**  
(moyennes empiriques  $\xrightarrow{\text{p.s.}}$  moyennes d'ensemble),

- ▶ Ergodicité temporelle : mobilité
- ▶ Ergodicité spatiale : généralise Wyner multicell

# Information mutuelle de Shannon

L'expression de  $[y_m^T, \dots, y_n^T]^T$  pour  $m \leq n$  met en jeu la matrice

$$B_{m,n} = \begin{bmatrix} c_{m,L} & \cdots & c_{m,0} & & \\ & \ddots & & \ddots & \\ & & c_{n,L} & \cdots & c_{n,0} \end{bmatrix}.$$

Soit  $\rho > 0$  le SNR. Sous des hypothèses classiques sur  $(s_n)$  et  $(v_n)$ , **l'information mutuelle** par composante est

$$\mathcal{I} = \lim_{n-m \rightarrow \infty} \frac{\log \det(\rho B_{m,n} B_{m,n}^* + I)}{(n-m+1)R}$$

où la limite presque sûre  $\lim$  existe **grâce l'ergodicité de  $(C_n)$** .

**Problème** : Exprimer et « faire parler » cette limite.



Problème

**Résultats antérieurs**

Résultat principal et applications

Éléments de preuve

# Exemple d'opérateur ergodique : l'opérateur de Schrödinger

Modèle d'Anderson pour l'opérateur de Schrödinger en physique quantique : la matrice de Jacobi (*i.e.*, tridiagonale) sur  $\ell^2(\mathbb{Z})$

$$J = \begin{bmatrix} \ddots & & & & & & \\ & \ddots & & & & & \\ & & 1 & V_{n-1} & 1 & & \\ & & & 1 & V_n & 1 & \\ & & & & \ddots & \ddots & \ddots \\ & & & & & & \ddots \end{bmatrix}$$

où  $(V_n)$  est un processus aléatoire ergodique.

Densité d'états : caractérisée à l'aide du produit d'un grand nombre de matrices successives  $\Phi_n(z) = \begin{bmatrix} z - V_n & -1 \\ 1 & 0 \end{bmatrix}$  par la **formule de Thouless**.

# Information mutuelle : approche Lévy-Zeitouni-Shamai'10

Partitionnement de  $B$  en blocs :

$$B = \begin{bmatrix} \ddots & & & & & \\ & \boxed{F_n} & \boxed{G_n} & & & \\ & & & \boxed{F_{n+1}} & \boxed{G_{n+1}} & \\ & & & & & \ddots \end{bmatrix}$$

$$F_n, G_n \in \mathbb{C}^{N \times K}$$
$$N = RL, K = TL$$

$$BB^* = \begin{bmatrix} \ddots & & & & \\ & F_n G_{n-1}^* & F_n F_n^* + G_n G_n^* & G_n F_{n+1}^* & \\ & & \ddots & & \\ & & & \ddots & \\ & & & & G_n F_{n+1}^* \end{bmatrix} \text{ est } \mathbf{bloc\text{-}Jacobi}$$

- ▶ **Formule de Thouless adaptée au cas bloc-Jacobi** suivant [Narula'97] et [Craig-Simon'83].
- ▶ **Expression de  $\mathcal{I}$  compliquée** car liée au spectre d'un produit d'un grand nombre de matrices aléatoires structurées.



Problème

Résultats antérieurs

**Résultat principal et applications**

Éléments de preuve

# Hypothèses

Nous conservons l'écriture par blocs :

$$Y_n = F_n S_{n-1} + G_n S_n + V_n \in \mathbb{C}^N$$

- ▶  $(S_n)$  : processus gaussien iid  $\in \mathbb{C}^K$  – données numériques
- ▶  $(V_n)$  : AWGN  $\in \mathbb{C}^N$
- ▶  $(F_n, G_n)$  : processus stationnaire ergodique,  $2^{nd}$  moment fini – canal
- ▶  $(S_n)$ ,  $(V_n)$  et  $(F_n, G_n)$  indépendants

# Résultat principal

## Information mutuelle :

- ▶ Il existe un processus stationnaire unique  $(W_n)_{n \in \mathbb{Z}}$  à valeurs dans les matrices hermitiennes définies positives  $K \times K$  et qui satisfait la récursion

$$W_n = \psi_{(F_n, G_n)}(W_{n-1})$$

où

$$\psi_{(F, G)}(W) = \left( I + \rho G^* (I + \rho F W F^*)^{-1} G \right)^{-1}.$$

En particulier,  $(W_n)$  est ergodique.

- ▶ L'information mutuelle par composante est

$$\mathcal{I} = \frac{1}{N} \left( \mathbb{E} \log \det (I + \rho F_0 W_{-1} F_0^*) - \mathbb{E} \log \det W_0 \right).$$

# Résultat principal

## Simulation de l'information mutuelle :

- ▶ Soit le processus  $(X_n)_{n \in \mathbb{N}}$  défini par la récursion

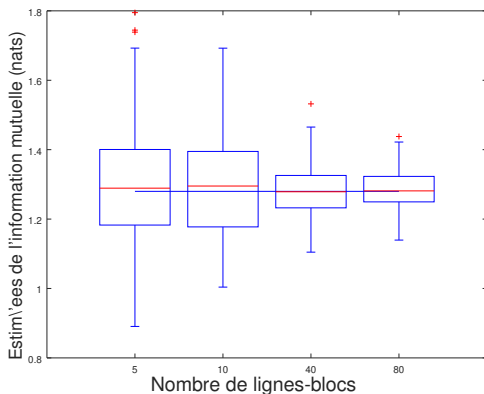
$$X_n = \psi_{(F_n, G_n)}(X_{n-1})$$

où  $X_{-1}$  est semi définie positive arbitraire. Alors

$$\mathcal{I} = \limps_{n \rightarrow \infty} \frac{1}{nN} \sum_{\ell=0}^{n-1} \log \det (I + \rho F_\ell X_{\ell-1} F_\ell^*) - \log \det X_\ell.$$

# Application : simulation de $\mathcal{I}$

Calcul **plus facile** que le calcul direct du spectre de  $B_{m,n}B_{m,n}^*$



Boîtes à moustaches : estimation directe. Ligne horizontale : par le théorème principal. MIMO Rice Doppler multitrajet,  $R = T = 2$ ,  $L = 3$

# Application : régime du haut SNR

Pour  $\rho \rightarrow \infty$ , il arrive souvent que

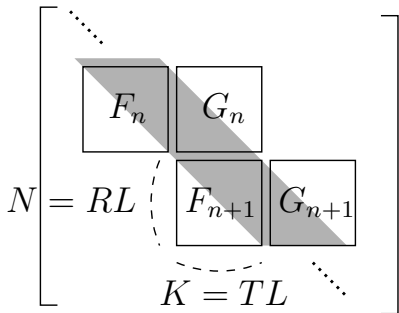
$$\mathcal{I} = \min(K/N, 1) \log \rho + \kappa_\infty + o_{\rho \rightarrow \infty}(1).$$

**Convergence et caractérisation du décalage  $\kappa_\infty$**  dans le cas où

- ▶ **Le processus  $(F_n, G_n)$  est markovien ergodique**
- ▶  $N \neq K$
- ▶  $F_n$  et  $G_n$  de rang complet p.s. (principalement)

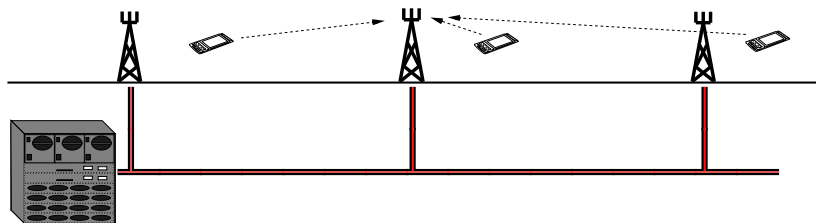
# Application : régime des grandes dimensions

$$y_n = \sum_{l=0}^L c_{n,l} s_{n-l} + v_n$$
$$c_{n,l} \in \mathbb{C}^{R \times T}$$

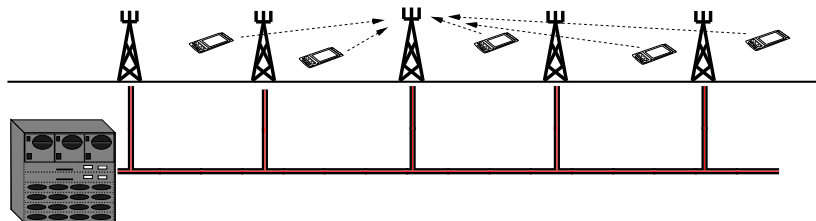


- ▶  $N, K \rightarrow \infty$  **au même rythme** : nombre d'antennes MIMO  $R$  et  $T \rightarrow \infty$  au même rythme ou degré du canal  $L \rightarrow \infty$ .
- ▶ Pour bon nombre de modèles statistiques  $(F_n, G_n)$ ,  $\mathcal{I}$  est suit **le régime des grandes matrices aléatoires**.
- ▶ **Preuve facile par le théorème principal.**

## Exemple : réseau cellulaire de plus en plus dense



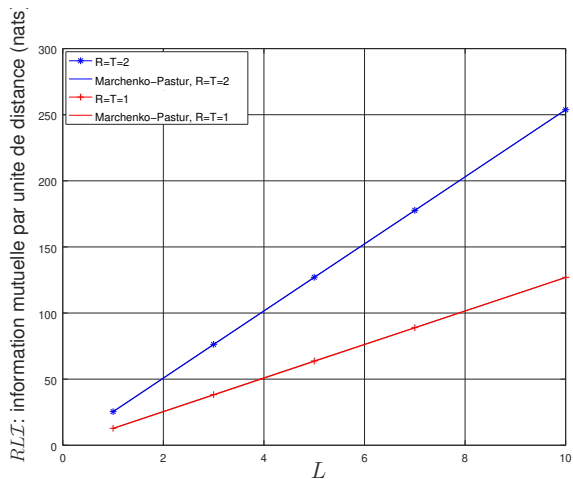
Liaison montante. SB coopèrent



SB et utilisateurs de plus en plus denses :  $L \rightarrow \infty$



## Exemple : réseau cellulaire de plus en plus dense



Information mutuelle par unité de distance vs densité des SB. Canaux Rayleigh indépendants, puissance  $\propto$  distance<sup>-3</sup>

Problème

Résultats antérieurs

Résultat principal et applications

Éléments de preuve

## Éléments de preuve

Soit la matrice semi infinie (sur  $\ell^2(\mathbb{N})$ )

$$H_{-\infty,n} = \begin{bmatrix} \ddots & & & & & \\ & \ddots & & & & \\ & & F_{n-1} & & & \\ & & & G_{n-1} & & \\ & & & F_n & & \\ & & & & G_n & \end{bmatrix}.$$

Soit le processus  $W = (W_n)_{n \in \mathbb{Z}}$

$$W_n = [(\rho H_{-\infty,n}^* H_{-\infty,n} + I)^{-1}]_{nn},$$

(bloc  $K \times K$  bas-droite de la résolvante  $(\rho H_{-\infty,n}^* H_{-\infty,n} + I)^{-1}$ )

- ▶  $N\mathcal{I} = \mathbb{E} \log \det (I_N + \rho G_0 G_0^* + \rho F_0 W_{-1} F_0^*)$ .
- ▶  $(W_n)$  satisfait la récursion  $W_n = \psi_{(F_n, G_n)}(W_{n-1})$
- ▶ Unicité de la récursion :  $\psi_{(F, G)}(\cdot)$  est une contraction pour la métrique riemannienne sur le cône des matrices hermitiennes positives

$$d(P, Q) = \left( \sum \log^2 \lambda_i \right)^{1/2}, \quad \{\lambda_i\} \text{ valeurs propres de } PQ^{-1}$$